

ИНТЕРПОЛЯЦИЯ ПЛОСКИХ КРИВЫХ

В.А.Скороспелов

Излагаются два метода интерполяции дуг плоских кривых кубическими сплайнами дефекта 2, основанные на локальных процедурах построения интерполирующих кривых. Достоинством этих методов является, во-первых, тот факт, что для получения коэффициентов сплайна нет необходимости решать систему, во-вторых, полученные кривые не имеют нежелательных осцилляций, которые нередко являются причиной отказа от классических методов интерполяции. Благодаря этим свойствам вместе с простотой реализации вычислительных алгоритмов на ЭВМ эти методы представляют собой достаточно универсальный аппарат для построения плавных кривых и с успехом могут применяться в автоматизированных системах проектирования и технологической подготовки производства в таких отраслях машиностроения, как авиастроение, судостроение, автомобилестроение, турбостроение.

Задача интерполяции рассматривается в следующей постановке. Пусть задана упорядоченная последовательность точек, представленных своими радиусами-векторами относительно некоторой прямоугольной системы координат, в каждой из которых определено направление касательного вектора  $\{\vec{r}_i, \vec{n}_i\}$  ( $i = 1, 2, \dots, n$ ), где  $\vec{r}_i = (x_i, y_i)$ ,  $\vec{n}_i = (n_{xi}, n_{yi})$ . Требуется построить непрерывную кривую с непрерывной касательной, проходящую через заданные точки и имеющую заданное направление касательного вектора в них и минимальное число точек перегиба на рассматриваемой дуге, которое полностью определяется заданной системой узлов.

Первые два параграфа посвящены изложению методов построения таких кривых. В третьем параграфе излагается методика при-

лиженного определения направления касательного вектора в тех узлах, в которых оно не задано.

### §1. Построение интерполяционного сплайна с использованием местной системы координат

Следует отметить, что описываемый в этом параграфе метод не допускает абсолютно произвольного выбора узлов интерполяции. Ограничение состоит в том, что углы наклона заданных касательных векторов к соседним хордам не должны достигать значения  $\pi/2$ . Аналитически это ограничение выражается условиями:  $(\bar{h}_i, \bar{h}_i) > 0$ ;  $(\bar{h}_{i+1}, \bar{h}_i) > 0$ , где  $\bar{h}_i = (\bar{r}_{i+1} - \bar{r}_i)$  - вектор хорды,  $(\cdot, \cdot)$  - скалярное произведение.

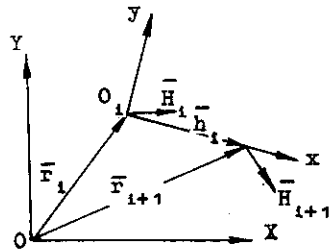


Рис.1

Матрица перехода в систему координат  $O_i x_i y_i$  будет

$$\mu = \frac{1}{L_i} \begin{vmatrix} \Delta X_i & \Delta Y_i \\ -\Delta Y_i & \Delta X_i \end{vmatrix},$$

где  $\Delta X_i = X_{i+1} - X_i$ ,  $\Delta Y_i = Y_{i+1} - Y_i$ ,  $L_i = |\bar{h}_i|$ .

В местной системе координат интерполяционная функция на рассматриваемом участке есть кубический полином

$$y^{(i)}(x) = \sum_{k=0}^3 a_k^{(i)} x^k, \quad x \in [0, L_i], \quad (I.1)$$

коэффициенты которого определяются из условий, что его производные на концах участка принимают заданные значения:

$$y'(0) \equiv y'_0 = \frac{-h_{x1} \Delta Y_i + h_{y1} \Delta X_i}{h_{x1} \Delta X_i + h_{y1} \Delta Y_i} \quad (I.2)$$

$$y'(L_i) \equiv y'_1 = \frac{-h_{x i+1} \Delta Y_i + h_{y i+1} \Delta X_i}{h_{x i+1} \Delta X_i + h_{y i+1} \Delta Y_i},$$

а сам он в этих точках обращается в нуль. Все дальнейшие рассуждения будут справедливы для любого участка, и поэтому можно опустить его номер  $i$ . Выражения для коэффициентов полинома (I.1) с учетом (I.2) имеют вид:

$$a_0 = 0; \quad a_1 = y'_0; \quad a_2 = -\frac{2y'_0 + y'_1}{L}; \quad a_3 = \frac{y'_0 + y'_1}{L^2}. \quad (I.3)$$

Интерес представляют следующие свойства этого полинома.

**УТВЕРЖДЕНИЕ 1.** Для того чтобы кубический полином (I.1) с коэффициентами (I.3) сохранял постоянный знак кривизны на отрезке  $[0, L]$ , необходимо и достаточно, чтобы выполнялись условия:

- $y'_0 y'_1 < 0$  или  $y'_0 = y'_1 = 0$ ;
- $\frac{1}{2}|y'_1| \leq |y'_0| \leq 2|y'_1|$ .

**ДОКАЗАТЕЛЬСТВО** этого утверждения сводится к исследованию поведения  $y''(x)$  на отрезке  $[0, L]$  и ввиду простоты опускается.

**УТВЕРЖДЕНИЕ 2.** Если условие "б" из (I.4) не выполняется и  $y'_0, y'_1 \neq 0$ , тогда существует единственный кубический полином:

а) удовлетворяющий заданным условиям на конце участка с большей по модулю производной,

б) сопрягающийся до второй производной в некоторой точке  $x_0 \in [0, L]$  с прямой, проходящей через противоположный конец участка с на-

ломом, равным заданной там производной.

Построенная таким образом кривая на отрезке  $[0, L]$  сохраняет постоянный знак кривизны.

ДОКАЗАТЕЛЬСТВО этого утверждения осуществляется путем вычисления коэффициентов полинома в точке  $x_0$ . Обозначим через  $d$  меньшую из данных по модулю производную, а через  $c$  - большую.

Пусть  $c \equiv y'_0$ . Искомый полином запишем по степеням  $(x - x_0)$ :

$$y(x) = \sum_{k=0}^3 a_k (x - x_0)^k, \quad x \in [0, x_0]. \quad (I.5)$$

Он должен удовлетворять условиям:

$$\left. \begin{aligned} y(0) = 0, \quad y'(0) = c, \\ y(x_0) = d(x_0 - L), \quad y'(x_0) = d, \quad y''(x_0) = 0. \end{aligned} \right\} \quad (I.6)$$

Подставляя (I.5) в (I.6), получим систему линейных алгебраических уравнений относительно неизвестных  $a_k, x_0$ . Ее решение:

$$\left. \begin{aligned} a_0 = d(x_0 - L), \quad a_1 = d, \quad a_2 = 0, \\ a_3 = \frac{c - d}{3x_0^2}, \quad x_0 = -\frac{3dL}{c - d}. \end{aligned} \right\} \quad (I.7)$$

Так как  $d(c - d) < 0$  и  $|3d| < |c| + |d|$ , то  $0 < x_0 < L$ .

Пусть  $c \equiv y'_1$ . В этом случае искомый полином должен удовлетворять условиям:

$$\left. \begin{aligned} y(L) = 0, \quad y'(L) = c, \quad y'(x_0) = d, \\ y(x_0) = dx_0, \quad y''(x_0) = 0. \end{aligned} \right\}$$

Решение получаемой системы на этот раз выглядит так:

$$\left. \begin{aligned} a_0 = dx_0, \quad a_1 = d, \quad a_2 = 0, \\ a_3 = \frac{c - d}{3(L - x_0)^2}, \quad x_0 = L + \frac{3dL}{c - d}. \end{aligned} \right\}$$

Нетрудно убедиться, что и в этом случае справедливо неравенство  $0 < x_0 < L$ .

УТВЕРЖДЕНИЕ 3. Если условие "а" из (I.4) не выполняется, то на отрезке  $[0, L]$  полином (I.1) имеет одну и только одну точку перегиба.

Это утверждение очевидно, поскольку вторая производная от кубического полинома есть линейная функция, принимающая в этом случае на концах отрезка значения разного знака.

Окончательно алгоритм построения интерполирующей функции на участке можно представить в таком виде:

1. Если условия "а" и "б" из (I.4) выполнены либо нарушено условие "а", то коэффициенты определяются по формулам (I.3).

2. Если условие "а" из (I.4) выполнено, а "б" нарушено, то применяем

$$a_0 = d(x_0 - E), \quad a_1 = d, \quad a_2 = 0, \quad x_0 = \left| \tilde{E} + \frac{3dL}{c - d} \right|,$$

$$a_3 = \begin{cases} E \frac{c - d}{(E - x_0)^2 L}, & a_1 = \tilde{E} \frac{c - d}{3(E - x_0)^2 L}, \\ a_3 = \begin{cases} a_3^0 & \text{для } x < x_0, \\ a_3^1 & \text{для } x \geq x_0; \end{cases} \end{cases}$$

где

$$E = \begin{cases} 0, & \text{если } d = y'_0, \\ L, & \text{если } d = y'_1; \end{cases}$$

$$\tilde{E} = \begin{cases} L, & \text{если } d = y'_0, \\ 0, & \text{если } d = y'_1. \end{cases}$$

Описанный метод наиболее эффективен для интерполяции кривых, имеющих точки, в окрестности которых наблюдается резкое изменение кривизны. Такими точками, например, являются точки сопряжения отдельных дуг, образующих кривую. Обычный метод интерполяции кубическими параметрическими сплайнами дефекта I [I] в этом случае дает нежелательные осцилляции и не может быть применен без специального выбора узлов.

Следует заметить, что если на кривой имеются точки перегиба, нежелательно выбирать их в качестве узлов интерполяции.

§2. Интерполяция локальными параметрическими кубическими сплайнами дефекта 2

В отличие от метода, изложенного в предыдущем параграфе, излагаемый ниже допускает совершенно произвольный выбор узлов и может применяться для приближения произвольных непрерывных кривых, имеющих непрерывную касательную. Интерполирующая кривая на участке  $(i, i+1)$  определяется в виде:

$$\bar{r}^{(i)}(t) = \sum_{k=0}^3 \bar{A}_k^{(i)} t^k, \quad t \in [0, 1], \quad i = 1, 2, \dots, n-1, \quad (2.1)$$

где

$$\bar{A}_k^{(i)} = (a_k^{(i)}, b_k^{(i)}).$$

Коэффициенты определяются из условий:

$$\bar{r}^{(i)}(0) = \bar{r}_i, \quad \bar{r}^{(i)}(1) = \bar{r}_{i+1}, \quad (2.2)$$

$$\left. \frac{\partial \bar{r}^{(i)}}{\partial t} \right|_{t=0} = c_i \bar{h}_i, \quad \left. \frac{\partial \bar{r}^{(i)}}{\partial t} \right|_{t=1} = d_i \bar{h}_{i+1}.$$

Здесь  $c_i, d_i \geq 0$  — пока неизвестные параметры, выбору которых фактически посвящено остальное содержание параграфа. Будем считать, что  $\bar{h}_i$  ( $i = 1, \dots, n$ ) — единичные векторы.

Из (2.2) с учетом (2.1) получим выражения коэффициентов:

$$\begin{aligned} \bar{A}_0^{(i)} &= \bar{r}_i, & \bar{A}_1^{(i)} &= c_i \bar{h}_i, \\ \bar{A}_2^{(i)} &= 3\bar{h}_i - 2c_i \bar{h}_i - d_i \bar{h}_{i+1}, & \bar{A}_3^{(i)} &= -2\bar{h}_i + c_i \bar{h}_i + d_i \bar{h}_{i+1}. \end{aligned} \quad (2.3)$$

Поскольку все рассуждения будут справедливы для любого участка, в дальнейшем для удобства записи опускается номер участка  $i$ .

Введем обозначения:

$$\bar{r}_0 = \bar{r}(0), \quad \bar{r}_1 = \bar{r}(1), \quad L = |\bar{h}| \text{ — длина хорды.} \quad (2.4)$$

Запишем уравнение кривой (2.1) с учетом (2.2), (2.3) и обозначений (2.4) в виде  $\bar{r} = \bar{r}(t, \bar{r}_0, \bar{r}_1, c\bar{h}_0, d\bar{h}_1)$ .

Естественно потребовать выполнения тождества

$$p\bar{r}(t, \bar{r}_0, \bar{r}_1, c\bar{h}_0, d\bar{h}_1) \equiv \bar{r}(t, p\bar{r}_0, p\bar{r}_1, e\bar{h}_0, f\bar{h}_1), \quad (2.5)$$

где  $p > 0$  — скалярная величина,  $e = pc$ ,  $f = pd$ . Это тождество означает, что если плоскость подвергнуть равномерному растяжению (сжатия) с коэффициентом  $p$ , то вид интерполирующей кривой не изменяется.

Пусть  $p = 1/L$ , т.е. вместо исходного участка с длиной хорды, равной  $L$ , мы будем рассматривать участок с единичной хордой.

Введем величины  $\bar{h}_0 = \frac{h}{L}$ ,  $m = [\bar{h}_0, \bar{h}_0]$ ,  $n = [\bar{h}_1, \bar{h}_0]$ ,  $w = [\bar{h}_0, \bar{h}_1]$  и обозначим  $M = em$ ,  $N = fn$ ,  $W = ew$ .

Здесь

$$[\bar{h}, \bar{h}] = \begin{vmatrix} h_x & h_y \\ h_x & h_y \end{vmatrix}.$$

Числитель формулы кривизны плоской кривой, заданной в параметрической форме, есть  $F(t) = x'y'' - y'x''$ . Подставив сюда  $\bar{r}'$  и  $\bar{r}''$  из (2.1) с учетом (2.3), получим  $F(t) = Bt^2 + Ct + D$ , где  $B = 6(-W + M - N)$ ,  $C = 6(W - 2M)$ ,  $D = 2(-W + 3M)$ .

Поскольку знак выражения  $F(t)$  определяет знак кривизны кривой, интерес представляет вопрос: при каких условиях это выражение сохраняет постоянный знак на отрезке  $[0, 1]$ ?

Нетрудно видеть, что  $F(t)$  можно записать в виде

$$F(t) = W[2t^2(-\frac{3N}{W} - 1) + 2(1-t)^2(\frac{3M}{W} - 1) + t(1-t)].$$

Отсюда непосредственно следует

УТВЕРЖДЕНИЕ 4. Для того чтобы  $F(t)$  сохраняло знак на отрезке  $[0, 1]$ , необходимо и достаточно, чтобы выполнялись условия:

$$-\frac{N}{W} \geq \frac{1}{3}, \quad \frac{M}{W} \geq \frac{1}{3}. \quad (2.6)$$

Перепишем (2.6) с учетом ранее введенных обозначений

$$-\frac{1}{e} \frac{n}{w} \geq \frac{1}{3}, \quad \frac{1}{f} \frac{m}{w} \geq \frac{1}{3}. \quad (2.7)$$

Если  $-\frac{n}{w}, \frac{m}{w} > 0$ , то можно всегда так подобрать значения величин  $e$  и  $f$ , чтобы неравенства (2.6) выполнялись. В этом случае интерполирующая кривая будет сохранять постоянный знак кривизны на рассматриваемом участке.

На основании условий (2.7) и тождества (2.5) для выбора модулей касательных векторов на произвольном участке можно воспользоваться следующим правилом:

$$e = \begin{cases} 1, & \text{если } 3|n| \geq |w|; \\ 3\left|\frac{n}{w}\right|, & \text{если } 3|n| < |w|; \end{cases}$$

$$f = \begin{cases} 1, & \text{если } 3|m| \geq |w|; \\ 3\left|\frac{m}{w}\right|, & \text{если } 3|m| < |w|. \end{cases}$$

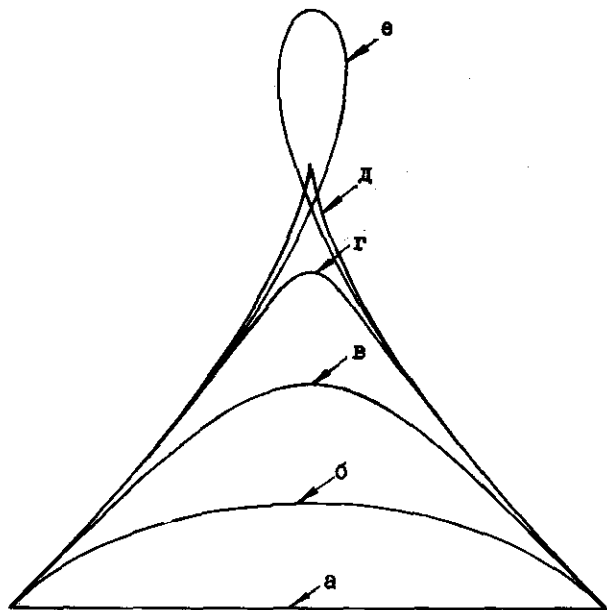


Рис. 2

Рис.2 иллюстрирует характер поведения полученной кривой в зависимости от значений величин  $c$  и  $d$ . Для этого примера взяты следующие данные:  $\bar{F}_0 = (0;0)$ ,  $\bar{F}_1 = (1;0)$ ,  $\bar{H}_0 = (0,5\sqrt{2};0,5\sqrt{2})$ ,  $\bar{H}_1 = (0,5\sqrt{2}; -0,5\sqrt{2})$ .

Обозначив  $\alpha = \left|\frac{n}{w}\right|$ ,  $\beta = \left|\frac{m}{w}\right|$ , рассмотрим различные кривые, получающиеся для

а)  $c = d = 0$ , кривая вырождается в отрезок прямой, совпадающий с хордой;

б)  $c = d = 1$ , знак кривизны на всем участке постоянен;

в)  $c = 3\alpha$ ,  $d = 3\beta$ , в граничных точках кривизна обращается в нуль; внутри рассматриваемого участка кривая сохраняет постоянный знак кривизны;

г)  $c = 4\alpha$ ,  $d = 4\beta$ , точки перегиба расположены внутри рассматриваемого участка;

д)  $c = 6\alpha$ ,  $d = 6\beta$ , две точки перегиба слились и образовали точку возврата;

е)  $c = 8\alpha$ ,  $d = 8\beta$ , точки перегиба исчезли, и образовалась петля; знак кривизны на всем участке постоянен, но противоположен таковому для случая "б".

Следует отметить тот факт, что кривые, которые рассматривались в §I, являются частным случаем кривой (2.1) и могут быть получены путем специального выбора параметров  $e$  и  $d$ . А именно, если принять

$$c = \frac{L^2}{(\bar{H}_0, \bar{h})}, \quad d = \frac{L^2}{(\bar{H}_1, \bar{h})},$$

тогда в местной системе координат  $(0, x, y)$  (рис. 1) уравнение участка кривой будет иметь вид:

$$y = \sum_{k=0}^3 a_k t^k, \quad x = Lt,$$

или, исключив параметр  $t$ , получим уравнение участка в виде кубического полинома

$$y = \sum_{k=0}^3 b_k x^k.$$

На практике удобно пользоваться иной формой записи кривой (2.1). Подставив (2.3) в (2.1) и собрав степени параметра  $t$  при известных величинах  $\bar{r}_0, \bar{r}_1, \bar{r}'_0, \bar{r}'_1$ , получим

$$\bar{r}(t) = \bar{r}_0 F_0(t) + \bar{r}_1 F_1(t) + \bar{r}'_0 G_0(t) + \bar{r}'_1 G_1(t),$$

где

$$F_0(t) = 1 - 3t^2 + 2t^3, \quad F_1(t) = 3t^2 - 2t^3,$$

$$G_0(t) = t - 2t^2 + t^3, \quad G_1(t) = -t^2 + t^3.$$

Несмотря на несколько большие затраты времени ЭВМ на вычисление множества точек интерполяционной кривой, удобство такой формы очевидно. Во-первых, нет необходимости вычислять и хранить коэффициенты. Во-вторых, за счет аккуратного подсчета значений функций  $F_0, F_1, G_0, G_1$ , которые не зависят от исходных данных, можно добиться абсолютной стыковки соседних участков при реализации алгоритмов на ЭВМ.

### §3. Приближенное определение направления касательного вектора в узлах плоской кривой

Если в некоторых узлах плоской кривой, выбранной в качестве узлов интерполяции, неизвестны направления касательных векторов, для их приближенного определения можно воспользоваться алгоритмом, описываемом в данном параграфе. Этот алгоритм учитывает характер кривых, применяемых в машиностроении при аналитическом задании плавных контуров.

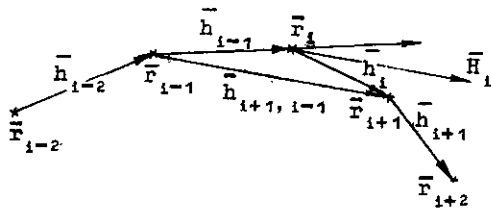


Рис. 3

Как правило, это составные кривые, образованные путем сопряжения отрезков прямых, дуг окружностей, кривых второго порядка и др.

Рассмотрим пять подряд идущих узлов дуги кривой  $\bar{r}_{i-2}, \bar{r}_{i-1}, \bar{r}_i, \bar{r}_{i+1}, \bar{r}_{i+2}$  (рис.3). Обозначим через  $\bar{h}_{i+1, i-1} = \bar{r}_{i+1} - \bar{r}_{i-1}$  вектор хорды, соединяющий узлы с номерами  $i-1$

и  $i+1$ . Искомое направление касательного вектора  $\bar{h}_i$  определим в виде

$$\bar{h}_i = U_i \bar{h}_{i-1} + V_i \bar{h}_1,$$

где  $U_i = L_i^2 u_i, \quad V_i = L_{i-1}^2 v_i,$

$$u_i = \frac{|[\bar{h}_i, \bar{h}_{i+1}]|}{L_{i+2, i} L_i L_{i+1}}, \quad v_i = \frac{|[\bar{h}_{i-2}, \bar{h}_{i-1}]|}{L_{i, i-2} L_{i-2} L_{i-1}}.$$

Нетрудно убедиться, что вектор  $\bar{h}_i$  обладает следующими свойствами:

- а) если все пять узлов лежат на окружности,  $\bar{h}_i$  совпадает по направлению с касательным вектором к ней в точке  $\bar{r}_i$ ;
- б) если угол между хордами  $\bar{h}_{i-2}$  и  $\bar{h}_{i-1}$  устремить к нулю, направление вектора  $\bar{h}_i$  стремится к направлению вектора  $\bar{h}_{i-1}$ ; если устремить к нулю угол между векторами  $\bar{h}_i$  и  $\bar{h}_{i+1}$ , направление вектора  $\bar{h}_i$  стремится к направлению вектора  $\bar{h}_{i+1}$ ;
- в) если  $u_i = v_i$ , то  $\bar{h}_i$  совпадает по направлению с касательным вектором к окружности, проходящей через точки  $\bar{r}_{i-1}, \bar{r}_i, \bar{r}_{i+1}$ .

Выражение (3.1) распространяется на внутренние точки с номерами  $i=3, 4, \dots, n-2$ . Для того чтобы воспользоваться им для крайних узлов с номерами  $i=1, 2, n-1, n$  следует добавить дополнительные узлы с номерами  $i=-1, 0, n+1, n+2$ . С этой целью можно воспользоваться следующим алгоритмом, который определяет дополнительные точки, лежащие на окружности, проходящей через три крайних.

Потребуем, чтобы дополнительные хорды  $\bar{h}_0$  и  $\bar{h}_n$  (рис. 4) удовлетворяли условию:

$$\begin{cases} [\bar{h}_0, \bar{h}_1] = [\bar{h}_1, \bar{h}_2], \\ (\bar{h}_0, \bar{h}_1) = (\bar{h}_2, \bar{h}_1), \end{cases} \quad \begin{cases} [\bar{h}_{n-2}, \bar{h}_{n-1}] = [\bar{h}_{n-1}, \bar{h}_n], \\ (\bar{h}_{n-2}, \bar{h}_{n-1}) = (\bar{h}_{n-1}, \bar{h}_n). \end{cases}$$

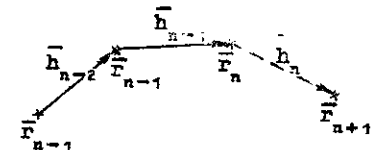
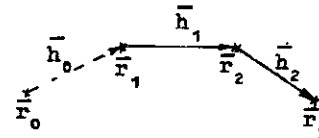


Рис. 4

Отсюда получаем

$$h_{ox} = \frac{[\bar{h}_1, \bar{h}_2] h_{1y} + (\bar{h}_1, \bar{h}_2) h_{1x}}{L_1^2};$$

$$h_{oy} = \frac{(\bar{h}_2, \bar{h}_1) h_{1y} - [\bar{h}_1, \bar{h}_2] h_{1x}}{L_1^2};$$

$$h_{nx} = \frac{[\bar{h}_{n-1}, \bar{h}_{n-2}] h_{n-1,y} + (\bar{h}_{n-2}, \bar{h}_{n-1}) h_{n-1,x}}{L_{n-1}^2};$$

$$h_{ny} = \frac{(\bar{h}_{n-2}, \bar{h}_{n-1}) h_{n-1,y} - [\bar{h}_{n-1}, \bar{h}_{n-2}] h_{n-1,x}}{L_{n-1}^2}.$$

По этому же правилу найдутся узлы  $\bar{\Gamma}_{n-1}$  и  $\bar{\Gamma}_{n+2}$ , если считать, что узлы  $\bar{\Gamma}_0$  и  $\bar{\Gamma}_{n+1}$  уже определены.

Если известно, что кривая замкнутая и не имеет точек излома, то в качестве дополнительных узлов следует взять  $\bar{\Gamma}_0 \equiv \bar{\Gamma}_{n-1}$ ,  $\bar{\Gamma}_{n+1} \equiv \bar{\Gamma}_2$ ,  $\bar{\Gamma}_{-1} \equiv \bar{\Gamma}_{n-2}$ ,  $\bar{\Gamma}_{n+2} \equiv \bar{\Gamma}_3$ .

#### Л и т е р а т у р а

И. АЛБЕРГ Дж., НИЛЬСОН Э., УОЛШ Дж. Теория сплайнов и ее приложения. М., "Мир", 1972.

Поступила в ред.-изд.отд.  
15 ноября 1976 года